

УДК 546.82

ИК-СПЕКТР ГИДРАТИРОВАННОГО ДИОКСИДА ТИТАНА

А.В. Кострикин, Р.В. Кузнецова, О.В. Косенкова,
А.Н. Меркулова, И.В. Линько

ФГОУ ВПО «Мичуринский государственный аграрный университет»; Российский университет дружбы народов, г. Москва

Рецензент А.И. Завражнов

Ключевые слова и фразы: гидратированный диоксид титана; интенсивность ИК-спектров; область поглощения; продукт термолиза.

Аннотация: Целью настоящей работы является синтезировать и изучить методом ИК-спектроскопии гидратированный диоксид титана.

Несмотря на достаточно большое число работ, посвященных строению гидратированного диоксида титана, данный вопрос окончательно не разрешен.

Цель настоящей работы – синтезировать и изучить методом ИК-спектроскопии гидратированный диоксид титана.

Гидратированный диоксид титана состава $\text{TiO}_2 \cdot \text{H}_2\text{O}$ был приготовлен следующим образом: навеску диоксида титана квалификации «х. ч.» смешивали с трехкратным мольным избытком твердого гидроксида натрия и нагревали в алундовом тигле при температуре 600...650 °C в течение 1 часа. Образовавшийся плав выщелачивали хлороводородной кислотой, разбавленной 1:1.

Из полученного прозрачного раствора концентрированным раствором аммиака осаждали гидратированный диоксид титана. Осадок промывали декантацией до отрицательной пробы на хлорид-ион и высушивали до состояния ксерогеля при температуре 50 °C.

ИК-спектры $\text{TiO}_2 \cdot \text{H}_2\text{O}$ и продукта его термолиза, выделенного при 1000 °C, записаны на приборе Specord 82M в матрице из бромида калия. Отнесение наблюдаемых полос поглощения (табл. 1) выполнено на основе

Кострикин А.В. – кандидат химических наук, доцент МичГАУ; Кузнецова Р.В.; Косенкова О.В.; Меркулова А.Н. – сотрудники МичГАУ; Линько И.В. – сотрудник РУДН, г. Москва.

Таблица 1

**Максимумы полос поглощения (в см^{-1})
и их относительная интенсивность и отнесение в ИК-спектрах
 $\text{TiO}_2 \cdot \text{H}_2\text{O}$ и продукта его термолиза**

| 50 °C | 1000 °C | Отнесение | 50 °C | 1000 °C | Отнесение |
|----------|----------|------------------|----------|----------|------------------------------|
| 3856 ср. | | $\nu(\text{OH})$ | 1562 ср. | 1547 ср. | $\delta(\text{H}_2\text{O})$ |
| 3740 ср. | | | 1520 ср. | 1526 ср. | |
| 3594 ср. | | | 1443 пл. | 1477 сл. | |
| | 3437 ср. | | 1413 пл. | | |
| | 3390 ср. | | 1403 с. | 1401 сл. | |
| 3325 с. | 3313 сл. | | | 1367 сл. | $2\nu(\text{TiO})$ |
| | 3254 сл. | | 1321 пл. | | |
| | 3210 сл. | | 1283 пл. | 1283 пл. | |
| | 3161 сл. | | | 1173 пл. | |
| 3097 с. | 3084 сл. | | 1089 пл. | | |
| 2901 с. | | | 911 пл. | | $\nu(\text{TiO})$ |
| | 2851 сл. | | 855 пл. | | |
| | 2812 сл. | | | 838 пл. | |
| | 2762 сл. | | 821 пл. | | |
| 2642 пл. | | | 775 пл. | | |
| | 2595 сл. | | 737 пл. | | |
| | 1738 ср. | | | 725 пл. | |
| | 1702 сл. | | 697 пл. | | |
| 1696 сл. | | | | 691 с. | |
| 1685 сл. | 1680 сл. | | | 646 пл | |
| 1656 с | | | | 609 с. | |
| | 1626 сл. | | | 568 с | |
| 1590 пл. | | | 554 с. | | |
| | | | | 529 с | |

литературных данных, а также вследствие изменения их интенсивности в результате термолиза образца. В спектре $\text{TiO}_2 \cdot \text{H}_2\text{O}$ в области поглощения $\nu(\text{OH})$ колебаний 3800...2600 наблюдается широкая интенсивная полоса поглощения, имеющая несколько максимумов. Обращает на себя внимание присутствие полос поглощения $\nu(\text{OH})$ с аномально высокими (3856 ср., 3740 ср., 3898 сл.) и низкими (2642 пл.) значениями максимумов. Отметим, что полосы поглощения с максимумами около 3700 см^{-1} в ИК-спектрах образцов гидратированного диоксида титана наблюдали также авторы [1, 2]. Данный факт может быть обусловлен присутствием в структуре $\text{TiO}_2 \cdot \text{H}_2\text{O}$ трех типов гидроксогрупп: а) концевые OH-группы, не участвующие в водородном связывании – максимумы полос поглощения их колебаний 3856, 3747 см^{-1} . Известно, что в спектре LiOH полоса $\nu(\text{OH})$ наблюдается при 3678 см^{-1} [3]. Теоретический расчет положения $\nu(\text{OH})$ в гидроксиде $\text{Mg}(\text{OH})_2$ показывает еще более высокое значение [4]; б) OH-группы, принимающие участие в интенсивном водородном связывании. Полосы поглощения $\nu(\text{OH})$ колебаний таковых групп лежат в пре-

делах 3600...2900 см^{-1} [5, 6]; в) аномально низкие значения $\nu(\text{OH})$, проявляющиеся в названном спектре, позволяют предполагать присутствие в структуре $\text{TiO}_2 \cdot \text{H}_2\text{O}$ атомных групп по своим характеристикам близким к H_3O^+ . Это предположение основано на следующем. Присутствие иона H_3O^+ в структуре гидрата $\text{HNO}_3 \cdot \text{H}_2\text{O}$ обуславливает появление в его ИК-спектре полосы $\nu(\text{OH})$ с максимумом при 2780 см^{-1} [7]. В гидрате хлорной кислоты $\text{HClO}_4 \cdot \text{H}_2\text{O}$ полосы поглощения колебаний $\nu(\text{OH})$, обусловленные присутствием в структуре иона H_3O^+ , наблюдаются в интервале 2820...2400 см^{-1} [8]. Однако полосы поглощения иона H_3O^+ , которые можно было бы считать аналитическими по факту его присутствия, лежат в иной области поглощения [5]. В спектре продукта термолиза интенсивность полос поглощения в обсуждаемой области сильно уменьшена. Имеющиеся здесь слабоинтенсивные полосы, вполне вероятно, обусловлены гидратацией образца парами воды атмосферы.

В области поглощения $\delta(\text{H}_2\text{O})$ колебаний в спектре $\text{TiO}_2 \cdot \text{H}_2\text{O}$ наблюдается группа полос с максимумами 1696, 1685, 1656 и 1590 см^{-1} . Такое количество разрешившихся максимумов указывает на разнообразие энергии взаимодействия молекул воды с элементами структуры гидратированного диоксида. Обращают на себя внимание полосы с максимумами при 1696 и 1685 см^{-1} , которые вполне могут служить аналитическими на присутствие в структуре TiO_2 иона гидроксония H_3O^+ . Известно, что деформационные колебания $\delta(\text{HON})$ иона H_3O^+ проявляются в области 1670...1800 см^{-1} [5]. Так, например, для гидрата $\text{HClO}_4 \cdot \text{H}_2\text{O}$ они наблюдаются при 1670 см^{-1} , для гидрата $\text{HClO}_4 \cdot 2\text{H}_2\text{O}$ деформационные колебания $\delta(\text{HON})$ иона H_5O_2^+ лежат при 1680 см^{-1} [8]. Названные колебания в ИК-спектре $\text{HNO}_3 \cdot \text{H}_2\text{O}$ наблюдаются при 1680 см^{-1} [7], а у содержащего воду жидкого SO_2 при 1700 см^{-1} [9]. Причем необходимо отметить, что вместе с указанными $\delta(\text{HON})$ в спектрах перечисленных соединений присутствуют низкочастотные максимумы полос поглощения $\nu(\text{OH})$, проявляющиеся ниже 2900 см^{-1} , то есть именно так, как мы видим в спектре $\text{TiO}_2 \cdot \text{H}_2\text{O}$ (см. табл. 1).

Таким образом, присутствие в двух областях спектра полос поглощения, характерных для иона гидроксония служит достаточно убедительным указанием на присутствие в структуре образца $\text{TiO}_2 \cdot \text{H}_2\text{O}$ атомных групп H_3O^+ . Присутствие частиц H_3O^+ в гидратированном диоксиде титана доказывается также его высокой протонной проводимостью [10], а также слабыми кислотными свойствами его водных суспензий [2]. Присутствие иона H_3O^+ следует также из данных ПМР, которые «не позволяют представить первую производную формы линии ПМР образцов гидратированного диоксида титана в виде суммы только двух сигналов от изолированных протонов OH групп и молекул воды» [2]. Полосы поглощения с максимумами при 1590...1520 см^{-1} обусловлены $\delta(\text{H}_2\text{O})$ молекул воды расположивающихся в микро- и макропорах, присутствие которых в образцах гидратированного диоксида титана указывается авторами [10].

Полосу поглощения с максимумом при 1403 см^{-1} , имеющую, однако, два плеча при 1443 и 1413 см^{-1} , интенсивность которой сильно уменьша-

ется при нагревании можно отнести к мостиковым колебаниям $\delta(\equiv \text{Ti} - \text{O(H)} - \text{Ti} \equiv)$. Отметим, что полосы поглощения с максимумом при 1420 см^{-1} наблюдалась авторами [11] в ИК-спектре соединения, определенного ими, как TiO(OH)_2 и отнесена к $\delta(\text{TiOH})$. Вне сомнения эти полосы располагаются несколько ниже, а именно, при 1283 см^{-1} (плечо) и при 1089 см^{-1} , интенсивность которых сильно уменьшается при нагревании образца. Вторая полоса, а именно при 1089 см^{-1} , проявляется в виде слабовыраженного плеча и поэтому требует особых пояснений. Как видно из сравнения спектров интенсивность полос поглощения в спектре $\text{TiO}_2 \cdot \text{H}_2\text{O}$ в этой области наблюдается с 1169 см^{-1} в виде единой диффузной полосы, обусловленной наложением целого ряда полос колебаний $\delta(\text{TiOH})$ и $\nu(\text{TiO})$. В ИК-спектре продукта термолиза, выделенного при 1000°C , интенсивное поглощение наблюдается с 1043 см^{-1} . Такое различие в положении частот начала интенсивного поглощения обусловлено уменьшением интенсивности полосы $\delta(\text{TiOH})$, проявляющейся в виде слабовыраженного плеча, вплоть до полного исчезновения. Отметим, что появление названных колебаний в этой области вполне согласуется с таковыми, наблюдаемыми для различных соединений других элементов (табл. 2).

Колебания $\nu(\text{TiO})$ октаэдра TiO_6 проявляются в ИК-спектрах $\text{TiO}_2 \cdot \text{H}_2\text{O}$ и продукта его термолиза в виде широкой диффузной полосы поглощения в области $900...500 \text{ см}^{-1}$, имеющей несколько максимумов, что указывает на сильные искажения титан-кислородного октаэдра в структурах соединений.

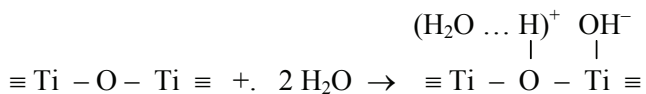
Сравнение интенсивностей $\nu(\text{OH})$ с $\nu(\text{H}_3\text{O}^+)$ и $\delta(\text{H}_2\text{O})$ с $\delta(\text{H}_3\text{O}^+)$ ИК-спектров образцов $\text{TiO}_2 \cdot \text{H}_2\text{O}$ и продукта его термолиза, позволяет констатировать, что в ИК-спектре продукта термолиза интенсивность полос поглощения, обусловленных частицами H_3O^+ выше, что может свидетельствовать о повышении доли частиц H_3O^+ в продукте термолиза по сравнению с таковой для $\text{TiO}_2 \cdot \text{H}_2\text{O}$. Учитывая, что продукт термолиза адсорбировал молекулы воды атмосферы, мы можем предполагать их сильные изменения именно на поверхности кристаллитов TiO_2 . Обладающий высо-

Таблица 2

Волновые числа (в см^{-1}) полос поглощения $\delta(\text{МОН})$ в ИК-спектрах различных соединений

| Соединение | $\delta(\text{ЭОН})$ | Литера- тура | Соединение | $\delta(\text{ЭОН})$ | Литера- тура |
|-------------------------------------|----------------------|-----------------|--|----------------------|-----------------|
| $\text{B}(\text{OH})_3$ | 1193 | [12] | $\text{Rb}_2\text{Pb}(\text{OH})_6$ | 1034...934 | [14] |
| $\text{E-Zr}(\text{OH})_2$ | 1092 | [12] | $\text{K}_2\text{Pt}(\text{OH})_6$ | 1055 | [15] |
| $\text{NaSb}(\text{OH})_6$ | 1107 | [12] | $\text{Ba}_2\text{Zn}(\text{OH})_6$ | 1065...652 | [16] |
| $\text{Te}(\text{OH})_6$ | 1228; 1134 | [12] | $\text{K}_2\text{Hf}(\text{OH})_6 \cdot 0,5\text{H}_2\text{O}$ | 1036; 940 | [17] |
| $\text{MgSn}(\text{OH})_6$ | 1172...1095 | [13] | $\text{Na}_2\text{Hf}(\text{OH})_6$ | 1093...867 | [17] |
| $\text{Rb}_2\text{Sn}(\text{OH})_6$ | 1015...935 | [14] | $\text{Na}_2\text{GeO}_2(\text{OH})_2 \cdot 6\text{H}_2\text{O}$ | 1124...887 | [14] |

кими электростатическими характеристиками ион титана поляризует адсорбированные молекулы воды, что и приводит к появлению ионов оксонаия по возможной схеме [2]:



Отметим, что в [18] констатируется образование при диссоциативной хемосорбции воды ионов H^+ и OH^- . Вполне вероятно, что к такому взаимодействию способны координационно насыщенные атомы титана поверхности.

Список литературы

1. Первушин, В.Ю. [и др.] // Журн. неорг. хим. – 1985. – Т. 30, вып. 4. – С.855.
2. Плетнев, Р.В. Гидратированные диоксиды элементов IV и V групп / Р.В. Плетнев [и др.]. – М. : Наука, 1986. – 160 с.
3. Wickercheim K.A. // J. Chem. Phys. – 1959. – V.81. – P. 863.
4. Рамбиди Н.Г. [и др.] // Журн. неорг. хим. – 1984. – Т. 29. – С. 2009.
5. Макатун, В.Н. Химия неорганических гидратов / В.Н. Макатун. – Минск : Наука и техника, 1985. – 246 с.
6. Зайцев, Б.Е. Спектрохимия координационных соединений / Б.Е. Зайцев. – М. : Изд-во РУДН, 1991.- 536 с.
7. Sovoie R., Giguere P.A. // J. Chem. Phys. –1964. – V. 41. – P. 2698.
8. Зайцев, Б.Е. Спектроскопические методы в неорганической химии. Часть 1. Колебательные и электронные спектры / Б.Е. Зайцев. – М. : Изд-во Рос. ун-та дружбы народов, 1974. – 185 с.
9. Giguere P.A., Madec C. // Chem. Phys. Letter. – 1976. – V. 37. – P. 569.
10. Slade R.C.T., Cross M.G., Englund W.A. // Solid State Ionics. –1982. – № 6. – P. 225.
11. Лимарь, Т.Ф. [и др.] // Журн. неорг. хим. – 1969. – Т. 14, вып. 9. – С. 2307.
12. Maltese, M. The infrared spectra and structure of complex hydroxosalts / M. Maltese, W.J. Orville-Tromas. – J. Inorg. Nucl. Chem. – 1967. – V. 29, – Pp. 2533-2544.
13. Баличева, Т.Г., Петрова Г.А. [и др.] // В сб. Проблемы современной химии координационных соединений. – Л., 1970. – С. 162.
14. Кострикин, А.В Синтез, строение и некоторые физико-химические свойства гидроксосолей элементов подгруппы Германия и щелочных металлов : дис. ... канд. хим. наук / А.В. Кострикин. – М. : Изд-во МГПИ, 1988. – 180 с.
15. Венковский, Н.У. Синтез и физико-химическое исследование гидроксосоединений палладия (IV) : дис. ... канд. хим. наук / Н.У. Венковский. – М. : Изд-во Рос. ун-та дружбы народов, 1977. – 180 с.
16. Петрищева, Л.П. Синтез, свойства и строение гидроксометаллатов (II) : дис. ... канд. хим. наук / Л.П. Петрищева. – М. : TXT, 1985. – 150 с.

17. Кузнецова, Р.В Синтез, строение и физико-химические свойства оксо-, оксогидроксо- и гидроксосоединений гафния с некоторыми щелочными и щелочноземельными металлами : дис. ... канд. хим. наук / Р.В. Кузнецова. – М. : Изд-во Рос. ун-та дружбы народов, 2000. – 105 с.
18. Хауфе, К. // Журн. физ. хим. – 1978. – Т.52, № 12. – С. 3058.

IR-Spectrum of Hydrated Titanium Dioxide

**A.V. Kostrikin, R.V. Kuznetsova, O.V. Kosenkova,
A.N. Merkulova, I.V. Linko**

*Michurinsk State Agrarian University
Russian University of Peoples' Friendship, Moscow*

Key words and phrases: hydrated titanium dioxide; intensity of IR-spectra; absorption area; product of thermolysis.

Abstract: The purpose of the given work is to synthesize and examine hydrated titanium dioxide using IR-spectroscopy method.

© А.В. Кострикин, Р.В. Кузнецова, О.В. Косенкова,
А.Н. Меркулова, И.В. Линько, 2007